

回転円板法の浄化機構に関する研究 - 反応項の評価 -

鹿兒島高專 正 西留 清

鹿児島高専 学○島田公史 東浩一郎

1. はじめに ¹⁻³⁾ 前諸報において付着生物膜内の生物反応を 0 次反応としてコンピューターシミュレーションにより半水没型回転円板法における生物膜内基質濃度分布を定量化し、シミュレーションにより得た平均 $\text{NH}_4\text{-N Flux}$ と実験値および定常動力学式による計算値を比較検討した結果、渡辺・石黒ら⁴⁾の固定生物膜動力学式が半水没型回転円板法に適用できることを明らかにした。本報では、生物反応項を Monod 型とした場合の生物膜内基質濃度分布および平均 $\text{NH}_4\text{-N Flux}$ が 0 次反応型に比較してどの程度異なるかをシミュレーションにより求めた。更に、硝化反応速度の温度依存性をシミュレーションにより得た平均 $\text{NH}_4\text{-N Flux}$ の温度依存性と定常動力学式による計算値から比較検討した。

$$R_N = X \cdot Y_m \cdot \frac{C_N}{K_N + C_N} \cdot \frac{C_D}{K_D + C_D} \quad \dots \dots \dots \quad (1)$$

X : 硝化菌濃度 (mg/l) T_m : 最大硝化速度係数 (1/hr)
 硝化反応が 0 次の場合 式-(1) の K_N ($\text{NH}_4\text{-N}$ に関する飽和恒数) お
 よび K_D (硝化菌の DO に関する飽和恒数) は 0 とする。森山ら⁵⁾ は C_N
 に関しては 0 次反応であり、硝化反応は C_D に依存しており、 K_D は 20
 mg/l であると報告している。したがって、 $K_N \ll K_D$ と考えられる
 ので硝化反応が酸素律速の場合、式-(1) は式-(2) となる。

$$R_n = X \cdot r_m \cdot C_p / (K_p + C_p) \quad \dots \dots \dots \quad (2)$$

図-1は無次元硝化速度係数(T/T_m)とDO濃度の関係である。 K_D が大きくなるほど硝化速度係数(T)が小さくなる。図-2と3は K_D がそれぞれ0.01(0次反応)と2.0の場合のシミュレーションによる基質濃度分布である。両条件とも液本体NH₄-N濃度(C_{Nb})は10mg/l、液本体DO濃度($C_{D,b}$)が3.5mg/lについての結果であり、硝化反応は酸素律連となっている。 K_D が2.0の場合、酸素浸入深さは K_D が0.01の場合に比べて大きい。図-4は平均NH₄-N Flux(F_A 、○印)と K_D との関係等である。硝化反応はNH₄-Nの4.33(α_m)倍の質量の溶存酸素が消費されるとしてシミュレーションしたので気相から生物膜表面への平均酸素Flux(F_{Oa} 、●印)および液本体から生物膜表面への平均酸素Flux(F_{ow} 、△印) α_m で除した結果も図-4に示した。 F_{Oa} と F_{ow} の和を α_m で除した値(■印)は F_A ヒー一致しており本シミュレーションモデル化が適切であると言える。したがって、半水没型回転円板硝化では生物膜内で酸化されたNH₄-Nヒ等量の酸素が生物膜内へ移動するので式-(3)が成立する。

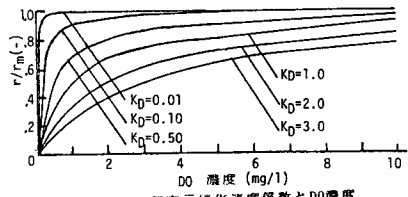


圖-1 無次元硝化速度係數與DO濃度

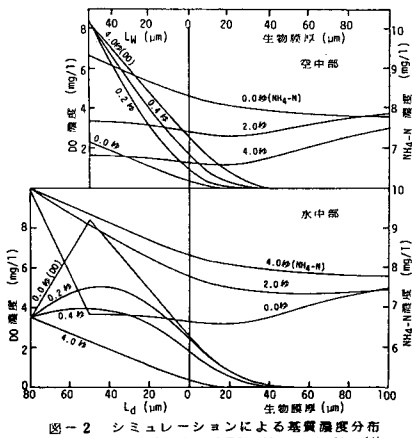


図-2 シミュレーションによる基質濃度分布
(円板回転速度7.5 rpm, 水温23.5°C, $K_D = 0.01 \text{ mg/l}$)

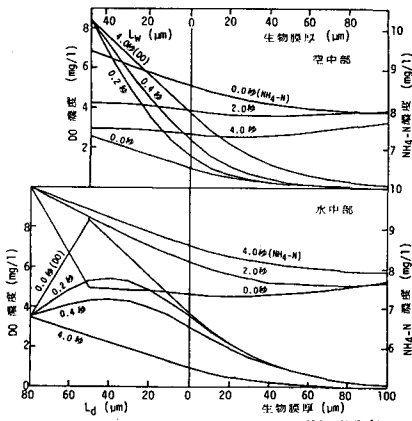


図-3 シミュレーションによる基質濃度分布
(回転円板速度7.5 rpm, 水温23.5°C, $K_D = 2.0 \text{ mg/l}$)

$$F_A = (F_{\text{ox}} + F_{\text{ow}}) / Q_n \quad \dots \quad (3)$$

図-4から $F_{ow}/(F_{ow}+F_{oa})$ と K_D との関係を図-1に示した。図-2、3から判るように0次反応ほど生物膜表面に近いところで生物反応がおこり、水中部生物膜表面 D_O 濃度は小さくなるため F_{ow} は大きい。しかし K_D は大きく変化しても酸素律速状態では F_{ow}/F_{oa} は10%程度であり、本シミュレーションの回転速度(7.5rpm)以下の場合、式-(3)は $F_A \approx F_{oa}/O_m$ であると考えられる。図-6は微少生物膜が水中に入、た瞬間から空中に出る瞬間までの $NH_4-N Flux(F_A')$ と酸素Flux(F_{ow}')の変化を示したものである。図中の○印は F_A であり、●印は F_{ow} である。 C_{db} は実測値より 3.5 mg/lとしたため、微少生物膜が水中に入、た瞬間には液本体へも酸素が供給され、 F_{ow}' はマイナスとなるが F_{ow}' は 0.08 g/m² hr となった。円板槽流入水が C_{db} に影響しない場合、 F_{ow} は○に近い値と考えられる。

3. 生物反応速度の検討 定常固定生物膜動力学式⁴⁾では生物膜表面の基質Flux(F)は基質が生物膜内へ完全浸透する場合式-(4)となる。 $F = \sqrt{2 D R C_s^*}$ ----- (4)

D: 基質の分子拡散係数(m²/hr), R: 生物膜内基質酸化速度,
 C_s^* : 基質律速から酸素律速に移る生物膜表面基質濃度(mg/l)
 前述したように、半水没型回転円板硝化では $F_A = \alpha_n F_{A,0}$ に等しいとすれば水温 ϑ °Cの時の NH_4-N Flux($F_{A,\vartheta}$)は式一(5)となる。⁶⁾ $F_{A,\vartheta} = \sqrt{2D_{0,\vartheta}(\alpha_n R_{n,\vartheta})C_{s0,\vartheta}}/\alpha_n$ --- (5) ある。
 $D_{0,\vartheta}$: 水温 ϑ °Cの時の溶存酸素の分子拡散係数(m²/hr) 係を図
 $R_{n,\vartheta}$: 水温 ϑ °Cの時の生物膜表面溶存酸素濃度(mg/l) ョンで
 ゆえに、20°Cにおける NH_4-N ($F_{A,20}$) と $F_{A,\vartheta}$ の比を 生物膜
 とると式一(6)となる。 算した
 に等し

$$F_{A,t}/F_{A,20} = \sqrt{(D_{0,t}/D_{0,20})(R_{n,t}/R_{n,20})(C_{so,t}/C_{so,20})} \quad - (6)$$

D_0 の温度依存性は式-(7), C_{SO} の温度依存性は C_{SO} が C_0^* に比例すると仮定すると式-(8), F_A の温度依存性は

$$D_{o,t}/D_{o,z_0} = (1.03)^{t-z_0} \quad \dots \quad (7)$$

$$C_{so,t}/C_{so,20} = (0.98)^{t-20} \quad \dots \dots \dots \quad (8)$$

$$F_{A,t} / F_{A,z_0} = \theta_F^{t-z_0} = (1.04)^{t-z_0} \quad \dots \quad (9)$$

θ_F : F_A の温度係数。式-(7)~(9)を式-(6)に代入すると、
 R_n の温度依存性は式-(9)となる。

$$R_{n,t} / R_{n,20} = \theta_R^{t-20} = (1.07)^{t-20} \quad \dots \quad (10)$$

したがって、 F_A の温度係数(θ_F)と θ_R は式-(11)となる。

$$\theta_F = 1.005 + 0.475 \theta_R \quad \text{--- --- --- ---} \quad (11)$$

図-7は水温20°Cにおける $R_{n,zo}$ を一定とした場合のシミュレーションによる F_A の温度依存性(23.5~10°C)で

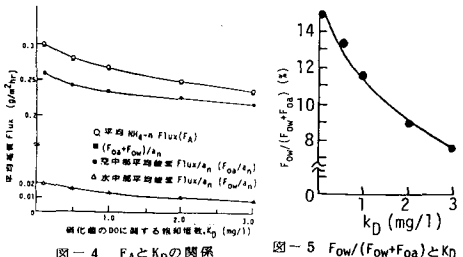


図-4 F_A と K_B の関係

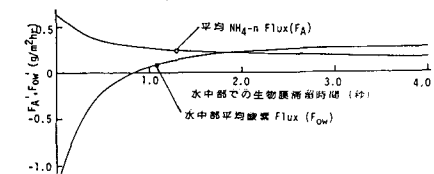


図-6 EA'および E_{ad} と生物膜の水中滞留時間

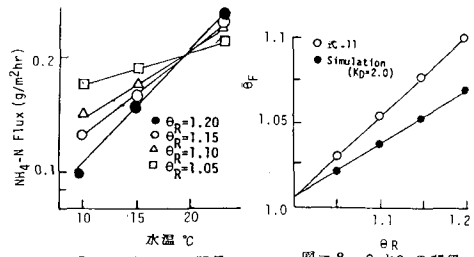


図-7 F_A と水温の関係

図-8 θ_F と θ_R の関係

ある。図-7からそれぞれの θ_R から θ_F を求め θ_F と θ_R の関係を図-8に示した。 θ_F が1.04の場合、シミュレーションでは θ_R が1.10となった。本シミュレーションでは生物膜内硝化菌濃度(X)は水温に関係なく一定として計算したため硝化反応速度係数(r)の温度係数(θ_r)は θ_R に等しい。渡辺・石黒らは X がMLSSとして500mg/l程度では θ_r は1.15として報告している。生物膜内硝化菌濃度の温度依存性を考慮すると本シミュレーションでも θ_r は1.15に近い値が得られると考えられる。

参考文献

- 1) 西留, 渡辺, 石黒・回転円板法の浄化機構のシミュレーション, 第18回衛生工学研究討論会講演論文集PP. 122~127, 1 (1982)
 - 2) Y. Watanabe, H. E. Bravo and K. Nishidome : Simulation of Nitrification and Its Dynamics in a Rotating Biological Contactor, Water Science and Technology, Vol. 14, pp.100~120
 - 3) Y. Watanabe, K. Nishidome, C. Thanantaseth and M. Ishiguro : Kinetics and Simulation of Nitrification in a Rotating Biological Contactor, Proceedings of the First International Conference on Fixed-Film Biological Processes, pp. 151~165
 - 4) 渡辺義公, 石黒政儀, 西留清: 回転円板法の浄化機構に関する研究(1) 下水道協会誌, Vol. 15, No. 122, pp. 24~34, 9(1978)
 - 5) 森山, 栗谷, 楠田: BOD除去一硝化混合ビロセスに関する基礎的研究, 第18回衛生工学研究討論会講演論文集 PP. 22~27, 1 (1980)
 - 6) 渡辺, 西留, 石黒: 回転円板法による硝化機構のシミュレーション, 下水道協会誌, Vol. 19, No. 233, PP. 30~39, 12 (1982)